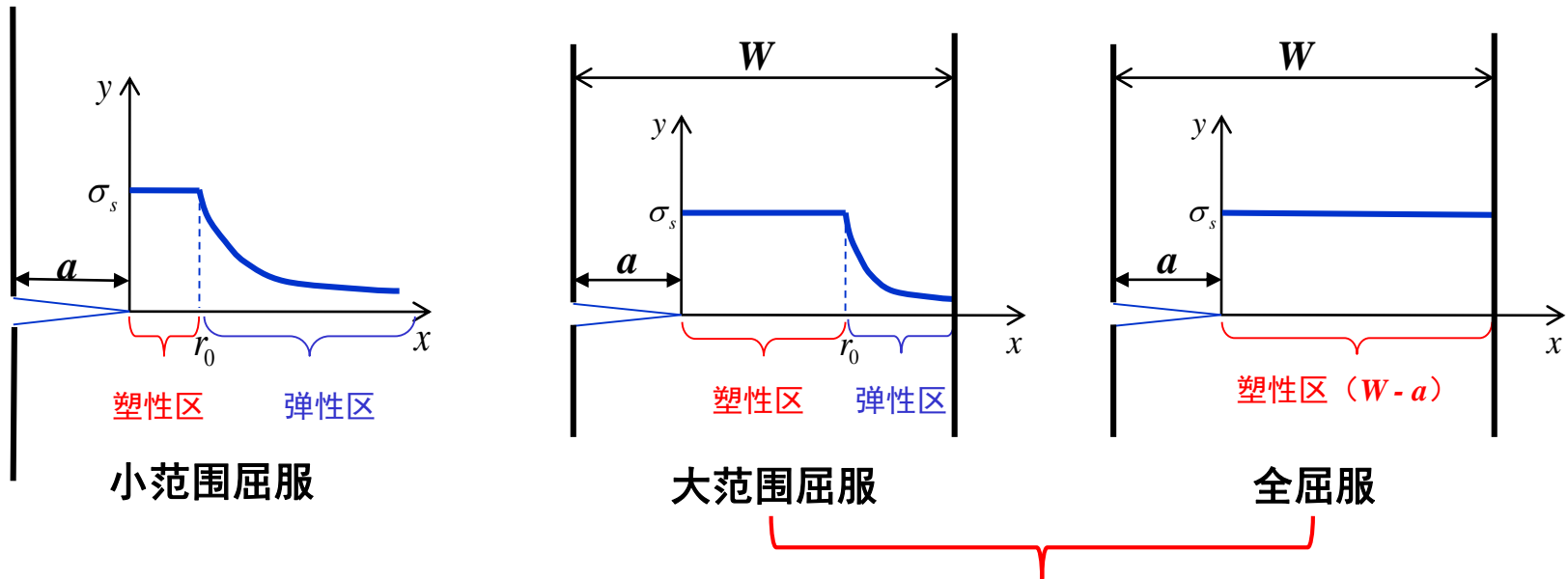


2.2 弹塑性断裂力学



等效裂纹修正!

修正 K 参量失效!!! 怎么办?

采用弹塑性力学方法，寻找其他场参量

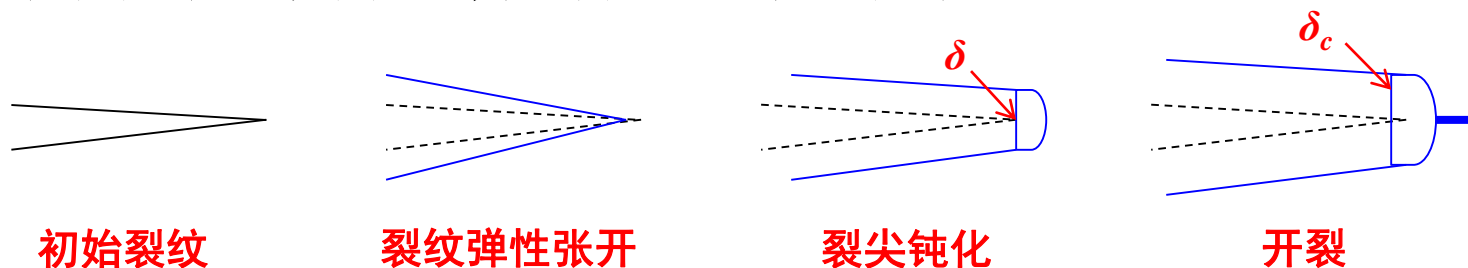
- 裂纹尖端张开位移 (Crack Tip Opening Displacement - **CTOD**)
- J 积分

2.2.1 CTOD



大型中、低强度钢构件发生不少低应力脆断的微观机制：

□ 裂纹开裂过程为：弹性张开→钝化→开裂



□ 开裂前，CTOD 能反映裂尖形变场强度

□ 存在一个临界 δ (δ_c)，当满足 $\delta > \delta_c$ 时,材料开裂

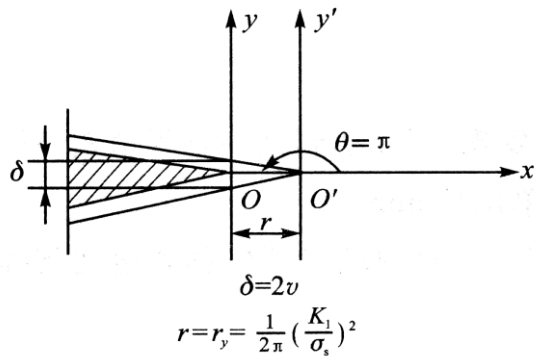
- CTOD定义

- CTOD数学表达式

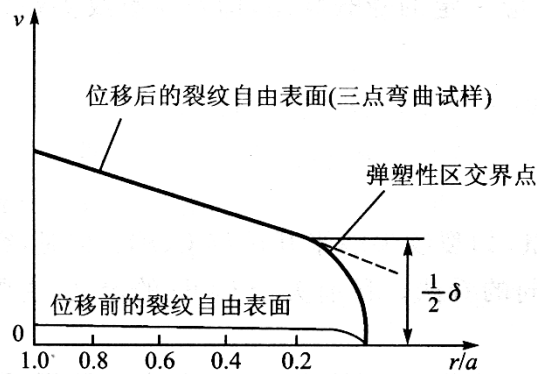
- CTOD工程测量

- CTOD准则

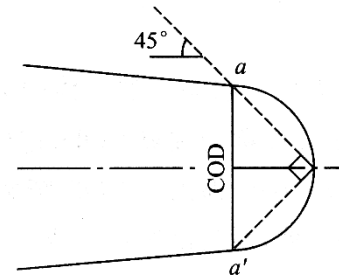
2.2.1.1 CTOD的定义



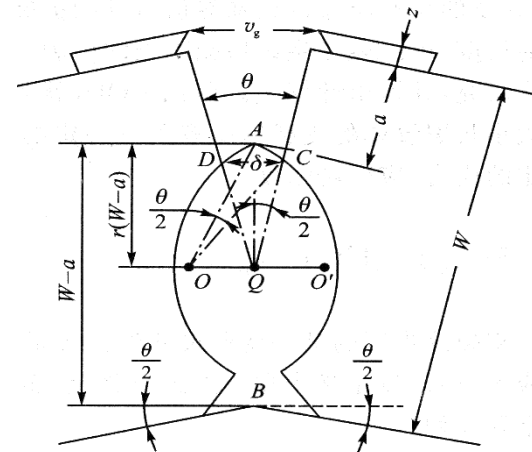
CTOD定义1: 小范围屈服修正裂纹时，
真实裂纹顶端的张开位移



CTOD定义3: 将变形后裂纹表面上弹
性和塑性区交界点处的张开位移



CTOD定义2: 以变形后裂尖为顶点，对称于
原裂纹作一个直角三角形，直角边与上、下
裂纹表面的交点 a 、 a' 之间的距离



2.2.1.2 CTOD的数学表达式



(1) 小范围屈服时的 CTOD (平面应变条件)

可采用等效裂纹修正的方法。裂纹尖端的纵向位移为：

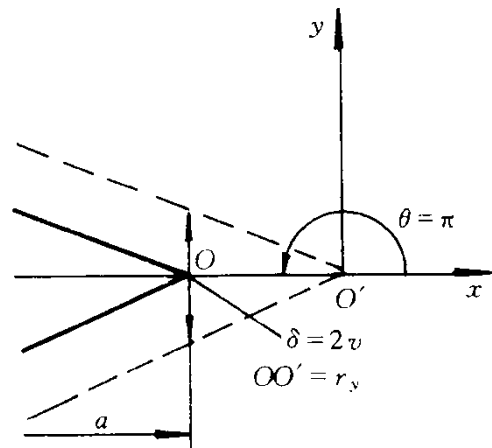
$$v = \frac{1+\nu}{E} K_I \sqrt{\frac{2r}{\pi}} \sin \frac{\theta}{2} \left[2 - 2\nu - \cos^2 \left(\frac{\theta}{2} \right) \right] \quad (1)$$

裂纹尖端的CTOD为：

$$\delta = 2v = 2 \times \left\{ \frac{1+\nu}{E} K_I \sqrt{\frac{2r}{\pi}} \sin \frac{\theta}{2} \left[2 - 2\nu - \cos^2 \left(\frac{\theta}{2} \right) \right] \right\} \quad (2)$$

真实裂纹尖端的坐标为：

$$\left. \begin{aligned} \theta &= \pi \\ r &= r_y = \frac{1}{2\pi} \left(\frac{K_I}{\sigma_s} \right)^2 (1-2\nu)^2 \end{aligned} \right\} \quad (3)$$





(1) 小范围屈服时的 CTOD (续)

将 (3) 式代入 (2) 式, 可得到:

$$\delta = \frac{4K_I^2}{\pi E \sigma_s} (1 - 2\nu)(1 - \nu^2) \quad (4)$$

因: $K_I = \sigma \sqrt{\pi a}$, 则有:

$$\delta = \frac{4\sigma^2 a}{E \sigma_s} (1 - 2\nu)(1 - \nu^2) \quad (5)$$

又因: $G_I = \frac{1 - \nu^2}{E} K_I^2$, 则有:

$$\delta = \frac{4(1 - 2\nu)}{\pi} \frac{G_I}{\sigma_s} \approx \frac{G_I}{\sigma_s} \quad (6)$$

力学参量

在临界条件下:

材料性能

$$\delta_c = \frac{4\sigma_c^2 a}{\pi E \sigma_s} (1 - 2\nu)(1 - \nu^2) = \frac{4K_{IC}^2}{E \sigma_s} (1 - 2\nu)(1 - \nu^2) = \frac{4G_{IC}}{\pi \sigma_s} (1 - 2\nu) \quad (7)$$

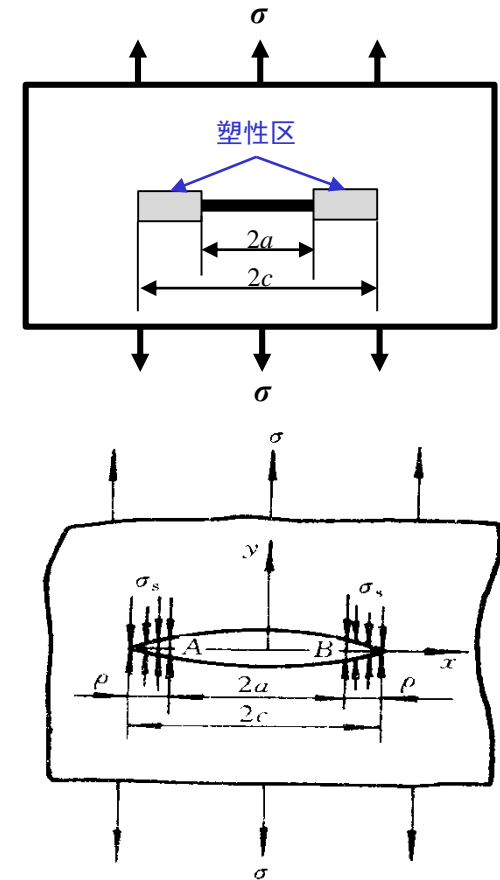
(2) 大范围屈服时的CTOD (平面应力条件)



1960年, Dugdale针对中低强度材料、薄板构件、长穿透裂纹的平面应力情况, 采用Muskhelishvili方法进行了断裂分析

D-M 模型:

- 裂纹两端的塑性区呈带状 (窄条状) 沿裂纹平面向两侧伸展, 外部是广大的弹性区
- 塑性区无硬化 (理想塑性)
- 设想将屈服区切开, 在切开面上施加数值等于 σ_s 的压力, 则裂纹切开面仍然闭合, 这样就把一个 $2a$ 长裂纹弹塑性转化为一个 $2c$ 虚拟裂纹的线弹性问题。



带状屈服模型

D-M模型处理及结果



虚拟裂纹尖端应力强度因子 K^* 由两个作用力结果的叠加而确定：

(1) 由无限远处平均应力 σ 引起：

$$K_I^{(1)} = \sigma \sqrt{\pi c} \quad (1)$$

(2) 由裂纹两端 ρ 段上的 $-\sigma_s$ 引起：

$$K_I^{(2)} = -\int_a^c \frac{2\sigma dx}{\sqrt{c^2 - x^2}} \frac{c}{\pi} = -2\sigma_s \sqrt{\frac{c}{\pi}} \arccos\left(\frac{a}{c}\right) \quad (2)$$

由虚拟裂纹尖端应力无奇异性得：

$$K_I^{(1)} + K_I^{(2)} = 0 \quad (3)$$

即：

$$\sigma \sqrt{\pi c} - 2\sigma_s \sqrt{\frac{c}{\pi}} \arccos\left(\frac{a}{c}\right) = 0 \quad (4)$$

由此可得：

$$c = a \left[\sec\left(\frac{\pi}{2} \frac{\sigma}{\sigma_s}\right) \right] \quad (5)$$

塑性区尺寸



因 $c = a + \rho$ ，得塑性区尺寸为：

$$\rho = c - a = a \left[\sec \left(\frac{\pi}{2} \frac{\sigma}{\sigma_s} \right) - 1 \right] \quad (6)$$

在 $|x| < \frac{\pi}{2}$ 时， $\sec x$ 可以展开为幂级数：

$$\sec x = 1 + \frac{1}{2} x^2 + \frac{5}{24} x^4 + \frac{61}{720} x^6 + \dots$$

因 $\frac{\pi}{2} \frac{\sigma}{\sigma_s} < \frac{\pi}{2}$ ，所以（6）式中的正割函数可展开为幂级数。

若 $\frac{\sigma}{\sigma_s}$ 较小，可忽略“四次方及以上项”，即有：

$$\rho \approx \frac{\pi^2}{8} \left(\frac{\sigma}{\sigma_s} \right)^2 a \quad (7)$$

再将 $K_I = \sigma \sqrt{\pi a}$ 代入（7）式，得：

$$\rho \approx \frac{\pi}{8} \left(\frac{K_I}{\sigma_s} \right)^2 \quad (8)$$

D-M模型的CTOD



真实裂纹尖端张开位移:

$$\delta = \frac{8a\sigma}{\pi E} \ln \left[\sec \left(\frac{\pi\sigma}{2\sigma_s} \right) \right] \quad (9)$$

将上式展开为级数:

$$\delta = \frac{8a\sigma}{\pi E} \left[\frac{1}{2} \left(\frac{\pi\sigma}{2\sigma_s} \right)^2 + \frac{1}{12} \left(\frac{\pi\sigma}{2\sigma_s} \right)^4 + \frac{1}{45} \left(\frac{\pi\sigma}{2\sigma_s} \right)^6 + \dots \right] \quad (10)$$

σ 较小时, 可只考虑第一项, 得到:

$$\delta = \frac{\pi}{E} \frac{\sigma^2 a}{\sigma_s} \quad (11)$$

由于 $K_I = \sigma\sqrt{\pi a}$ 及 $G_I = \frac{K_I^2}{E}$

则有:

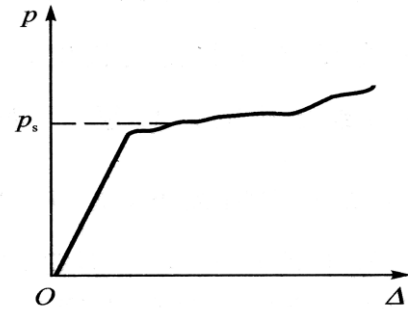
$$\delta = \frac{K_I^2}{E\sigma_s} = \frac{G_I}{\sigma_s} \quad (12)$$

- $\sigma/\sigma_s \rightarrow 1$ 时, $\delta \rightarrow \infty$, 模型失效
- $\sigma/\sigma_s \leq 0.8$ 时, 计算与实验相符



(3) 全面屈服下的CTOD

由于全面屈服后，应力增加很少，而变形大大增加，因而不再以应力作为计算 CTOD 的参量，而改用应变 e 来计算 CTOD。



拉伸图

Wells假定：塑性区应变 e 与塑性区尺寸 r_y 之间有：

$$\frac{e}{e_s} = \frac{r_y}{a} \quad \text{或} \quad \frac{e}{r_y} = \frac{e_s}{a} \quad (1)$$

CTOD $\sim e$ 的关系？

- 在小范围屈服时，由 $r_y = \frac{1}{2\pi} \left(\frac{K_I}{\sigma_s} \right)^2$ 、 $\delta = \frac{K_I^2}{E\sigma_s}$ 和 $\sigma_s = Ee_s$ 三式可得：

$$r_y = \frac{\delta}{2\pi e_s} \quad \text{或} \quad \delta = 2\pi e_s r_y \quad (2)$$

(3) 全面屈服下的CTOD (续)



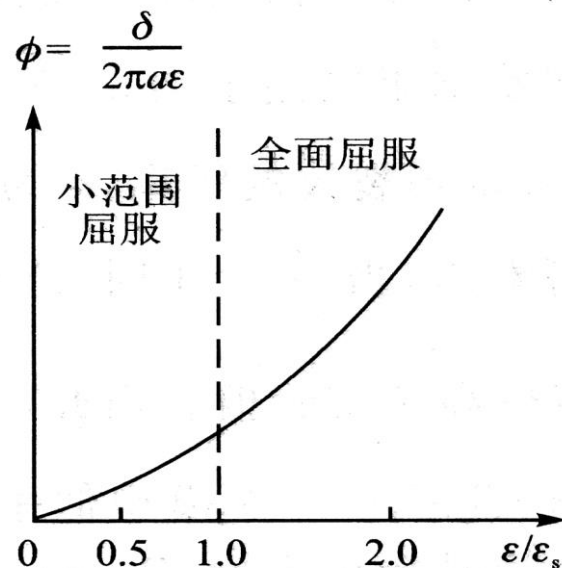
Wells经过大量的宽板试验，将上述关系进一步推广到全面屈服的情况。

将 (1) 式代入 (2) 式，有

$$\frac{\delta}{2\pi e_s a} = \frac{e}{e_s} \quad (3)$$

或： $\delta = 2\pi a e$ (4)

此即全面屈服情况下的Wells经验公式。



COD设计曲线

Wells公式可写成无量纲 CTOD 表达式: $\Phi = \frac{\delta}{2\pi a e_s}$

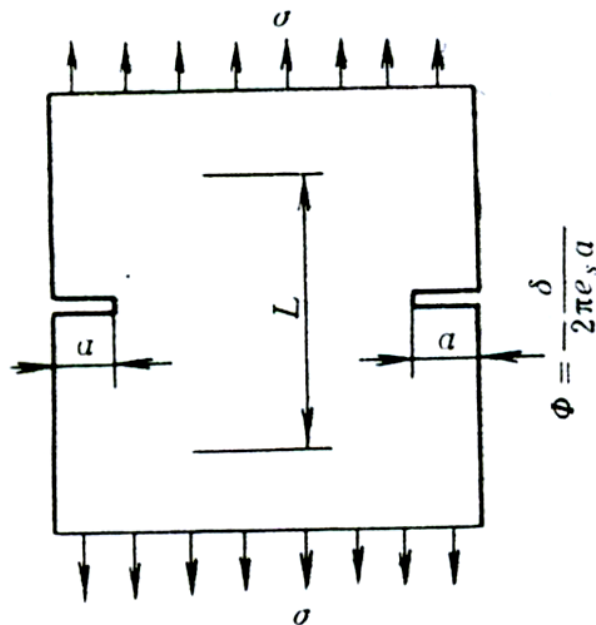
Burdekin公式



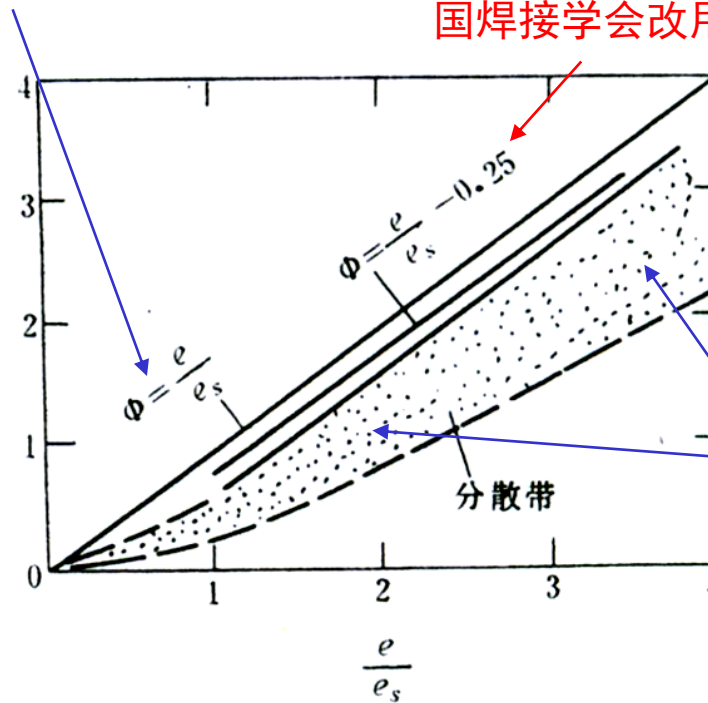
Wells公式，处在分散带
上方，用于设计过于保守

$$\delta = 2\pi e_s a \cdot \left(\frac{e}{e_s} - 0.25 \right)$$

Burdekin公式，1971年，英
国焊接学会改用 作为设计线



$$\Phi = \frac{\delta}{2\pi e_s a}$$

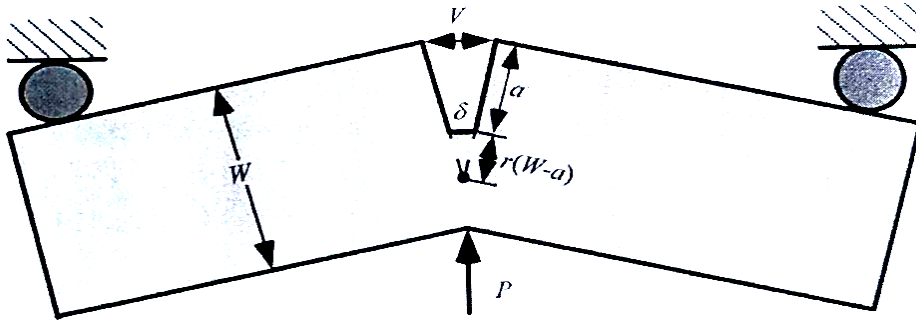


试验数据

英国焊接学会进行的宽板双边裂纹拉伸试验

在一定的标距 L 上测量伸长量 ΔL ，计算实际名义应变 $e = (\Delta L/L)$ ，同时测定裂纹尖端张开位移 δ 。将试验结果绘制在以 e/e_s 为横坐标、以 $\Phi = \delta / (2\pi e_s a)$ 为纵坐标的图中。

2.2.1.3 CTOD的工程测定（三点弯曲试样为例）



The hinge model for estimating CTOD from three-point bend specimens.

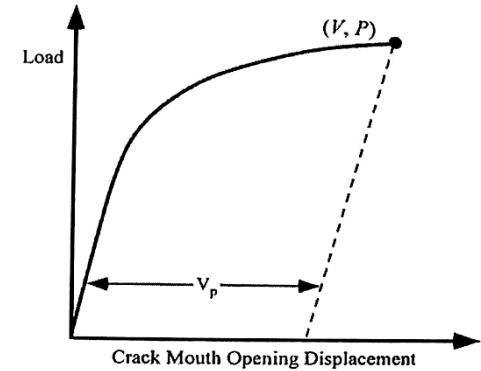
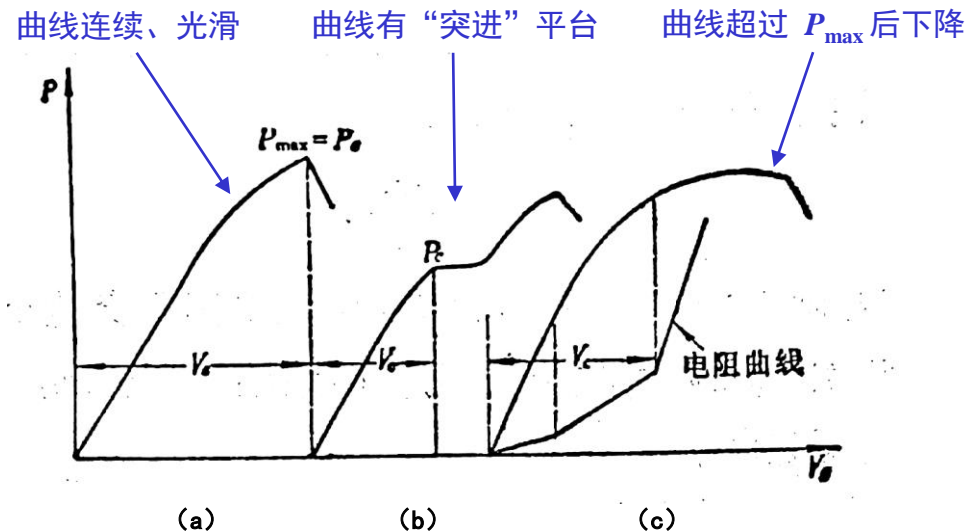


FIGURE 3.6 Determination of the plastic component of the crack-mouth-opening displacement.

$$\frac{\delta}{r(W-a)} = \frac{V}{r(W-a) + a}$$

$$\delta = \left[\frac{r(W-a)}{rW + (1-r)a} \right] V$$



三种 $P-V_g$ 曲线示意图

2.2.1.4 CTOD准则



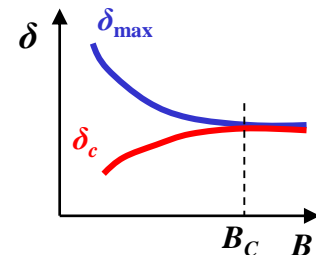
场参量，是 σ 和 a 的函数，通常由FEM计算求得，或实验测定

$$\delta = \delta_c$$

材料常数，相当于裂纹扩展阻力，是材料弹塑性断裂韧性指标

必须注意， δ_c 是裂纹开裂临界值，而非失稳断裂临界值 δ_{\max} 。试验表明， δ_c 是材料常数， δ_{\max} 则受试样几何（特别是厚度）影响。

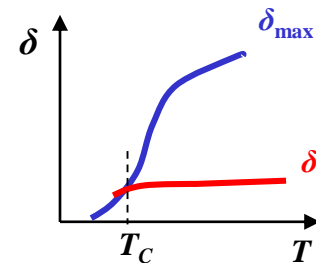
- δ_c 不随厚度变化，而 δ_{\max} 则随厚度变化



δ 与厚度的关系

平面应力/平面应变
转变

- δ_c 与温度基本无关；而 δ_{\max} 随温度升高而升高



δ 与温度的关系

冷脆转变

2.2.2 J 积分



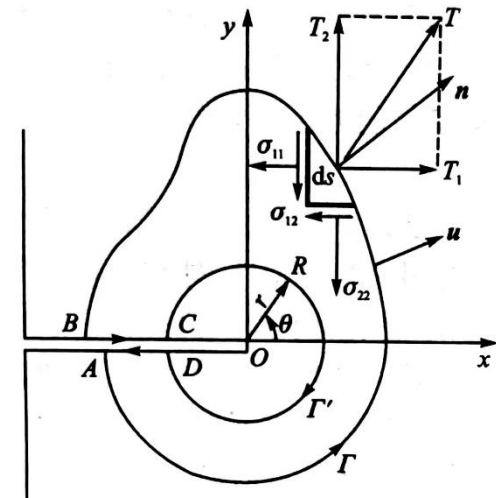
- J 积分定义
- J 积分与裂纹尖端弹塑性应力场的关系
- J 积分标定
- J 积分与 CTOD 的关系
- J 控制断裂力曲线
- J 积分准则

2.2.2.1 J 积分定义



(1) 回路积分

设：有一单位厚度 ($B = 1$) 的 I 型裂纹体，自裂纹下表面逆时针取一任一回路 Γ 达到裂纹上表面，其所包围体积内的应变能密度为 w ，回路 Γ 上任一点的作用力为 T ，位移为 u 。



裂纹扩展的能量释放率为：
$$G_I = -\frac{\partial \Pi}{\partial a} = -\frac{\partial (U - W)}{\partial a}$$

$$\text{应变能: } U = \int_{\Gamma} dU = \int w dV = \iint w dx dy$$

$$\text{外力功: } W = \int_{\Gamma} dW = \int_{\Gamma} (\vec{T} ds) \vec{u} = \int_{\Gamma} \vec{u} \vec{T} ds$$

$$\text{势能: } \Pi = U - W = \iint w dx dy - \int_{\Gamma} \vec{u} \vec{T} ds$$

$$G_I \text{ 的能量线积分: } G_I = -\frac{\partial \Pi}{\partial a} = \int_{\Gamma} \left(w dy - \frac{\partial \vec{u}}{\partial x} \vec{T} ds \right)$$

弹塑性裂纹尖端的回路积分- J 积分

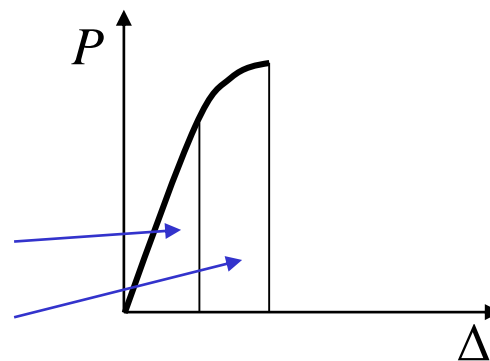


在弹塑性条件下，将 w 定义为“弹塑性应变能密度”，也存在前式等号右边的能量线积分，Rice将其定义为 J 积分：

$$J_I = \int_{\Gamma} \left(\textcircled{w} dy - \frac{\partial \vec{u}}{\partial x} \vec{T} dS \right)$$

形变功密度

{ 弹性变形功
塑性变形功



在线弹性条件下：

$$J_I = G_I = \frac{K_I^2}{E'}$$

J 积分的重要应用之一：用小试样的 J_{IC} 来换算大构件的 K_{IC}

- 低强度材料断裂韧性测定
- 大型不均匀结构局部断裂韧性测定

J 积分守恒性

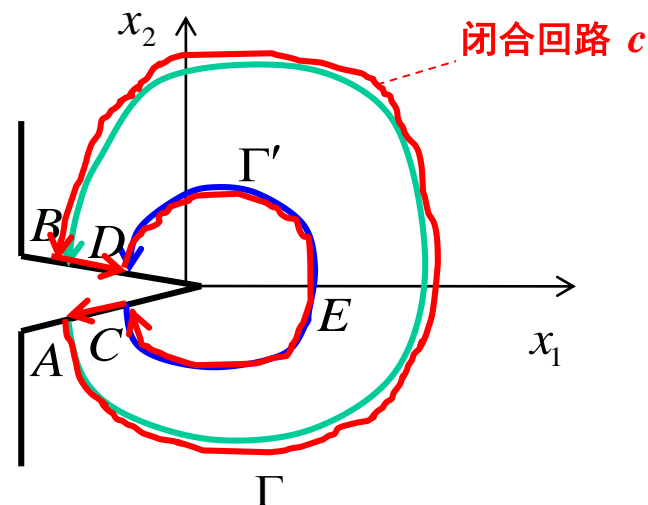
(详细证明参见讲义)



设分别有两个积分回路 Γ 和 Γ' (右图), J 积分的守恒性就意味着有下列恒等式:

$$\int_{\Gamma} \left(w dx_2 - T_i \frac{\partial u_i}{\partial x_i} ds \right) = \int_{\Gamma'} \left(w dx_2 - T_i \frac{\partial u_i}{\partial x_i} ds \right)$$

如果取任一闭合回路 c , 它由 Γ 和 Γ' 以及裂纹自由表面组成 (即回路 $ABDECA$)



- 在裂纹面 BD 和 CA 上, $T_i=0$ 和 $dx_2=0$, 对回路积分无贡献;
- DEC 路径与 Γ' 的方向相反, 回路积分值符号相反;
- 闭合回路内无裂纹, 整个回路积分 = 0。

则上式可改写为:

$$\oint_c \left(w dx_2 - T_i \frac{\partial u_i}{\partial x_i} ds \right) = \int_{\Gamma} \left(w dx_2 - T_i \frac{\partial u_i}{\partial x_i} ds \right) - \int_{\Gamma'} \left(w dx_2 - T_i \frac{\partial u_i}{\partial x_i} ds \right) = 0$$



J 积分守恒性的前提条件

在 J 积分守恒性的严格证明中，利用了以下几个关系：

①

$$\sigma_{ij} = \frac{\partial w}{\partial \varepsilon_{ij}}$$

要求应变由应力唯一地确定，即与加载过程（历史）无关。在真实情况下，它意味着不允许卸载。对于弹塑性体，应用全量理论和单调加载，才符合该关系。因此， J 积分的守恒性只有在比例单调加载情况下才能成立。

②

$$\partial \varepsilon_{ij} = \frac{1}{2} \left(\frac{\partial u_i}{\partial x_j} + \frac{\partial u_j}{\partial x_i} \right)$$

要求结构在裂纹附近为小变形。实际上，在裂纹尖端不可避免地出现大变形， J 积分的守恒性是近似的。但是大量有限元计算结果证明，大变形对 J 积分的影响很小。

③

$$\sigma_{ij, j} = 0$$

无体力条件下的平衡方程

④

$$\sigma_{ij} = \sigma_{ji}$$

剪应力互等关系

(2) 非线性能量释放率



在线弹性范围内, $J_I = G_I$, 即:

$$J_I = G_I = \left(\frac{\partial U}{\partial a} \right)_P = - \left(\frac{\partial U}{\partial a} \right)_\Delta = - \left(\frac{\partial \Pi}{\partial a} \right)$$

单位厚度试样应变能

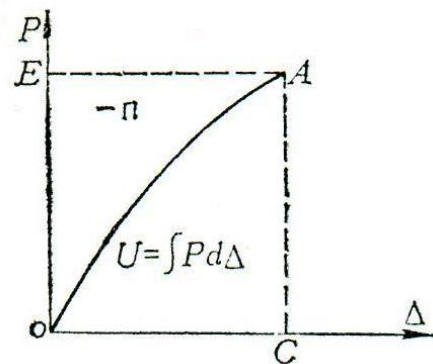
单位厚度试样势能

表明 J 积分与试样加载过程中具有的势能变化率有关, 这直接把 J 积分与外加载荷及施力点位移联系起来。

在弹塑性范围内, 对于二维试样:

$$J_I = - \left(\frac{\partial U}{\partial a} \right)_\Delta = - \left(\frac{\partial \Pi}{\partial a} \right)_P$$

单位厚度试样形变功 (弹性应变能+塑性功)

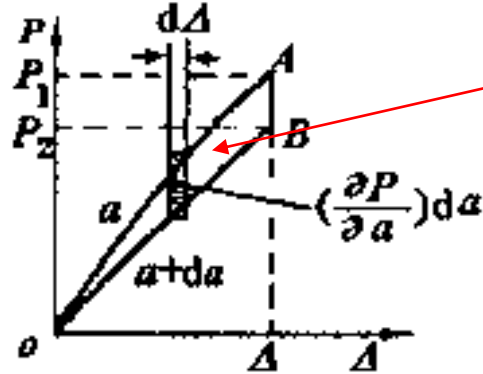
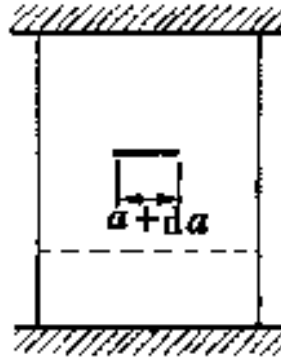
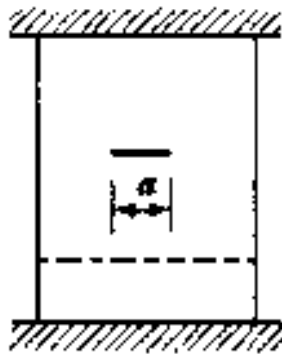


- 限于单调加载和小应变条件。
- 具有相同几何外形, 在相同外载和边界约束下, 具有裂纹长度为 a 和 $(a + \Delta a)$ 的两个试样单位厚度的势能差率。



恒位移及恒载荷条件下的 J 积分

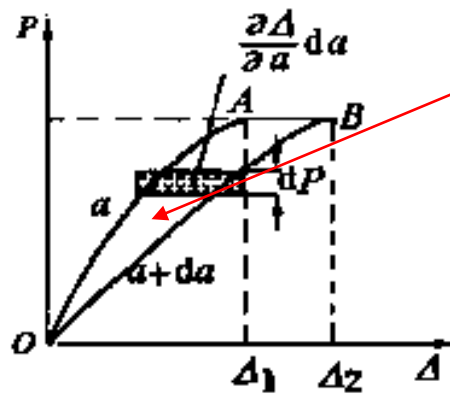
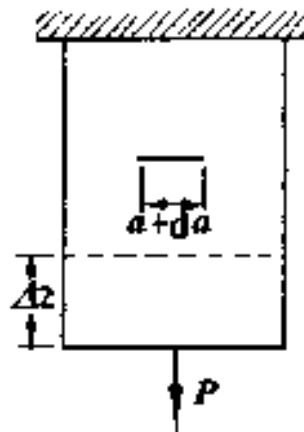
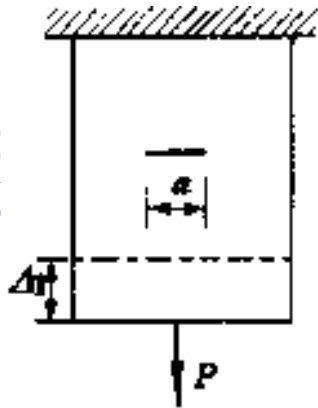
恒位移



$$J = -\frac{1}{B} \left(\frac{\partial U}{\partial a} \right)_{\Delta}$$

$$J = -\frac{1}{B} \int_0^{\Delta_1} \left(\frac{\partial P}{\partial a} \right)_{\Delta} d\Delta$$

恒载荷



$$J = -\frac{1}{B} \left(\frac{\partial \Pi}{\partial a} \right)_P$$

$$J = \frac{1}{B} \int_0^{P_1} \left(\frac{\partial \Delta}{\partial a} \right)_P dP$$

2.2.2.2 裂尖弹塑性应力场-HRR场



1968年，Hutchinson-Rice和Rosengren利用塑性全量理论分别独立得到了具有Ramberg-Osgood 硬化规律（ $\frac{\varepsilon}{\varepsilon_s} = \frac{\sigma}{\sigma_s} + \sigma \left(\frac{\sigma}{\sigma_s} \right)^n$ ）材料的裂尖应力场的渐进解：

$$\sigma_{ij} = \underbrace{J^{\frac{1}{1+n}}}_{\text{场强参数}} \cdot \underbrace{\left(\alpha I \right)^{-\frac{1}{1+n}}}_{\text{材料参数}} \cdot \underbrace{r^{-\frac{1}{1+n}}}_{\text{距离函数}} \cdot \underbrace{\tilde{\sigma}_{ij}(\theta)}_{\text{角度函数}}$$

与 n 有关的函数

位置参数

- 裂纹尖端有奇异性：当 $n = 1$ 时（弹性材料），与线弹性相同
- 裂纹尖端应力、应变场的强度由 J 确定
- 只适用于单调加载的情况
- HRR场为渐进解

2.2.2.3 J 积分标定



(1) 多试样法

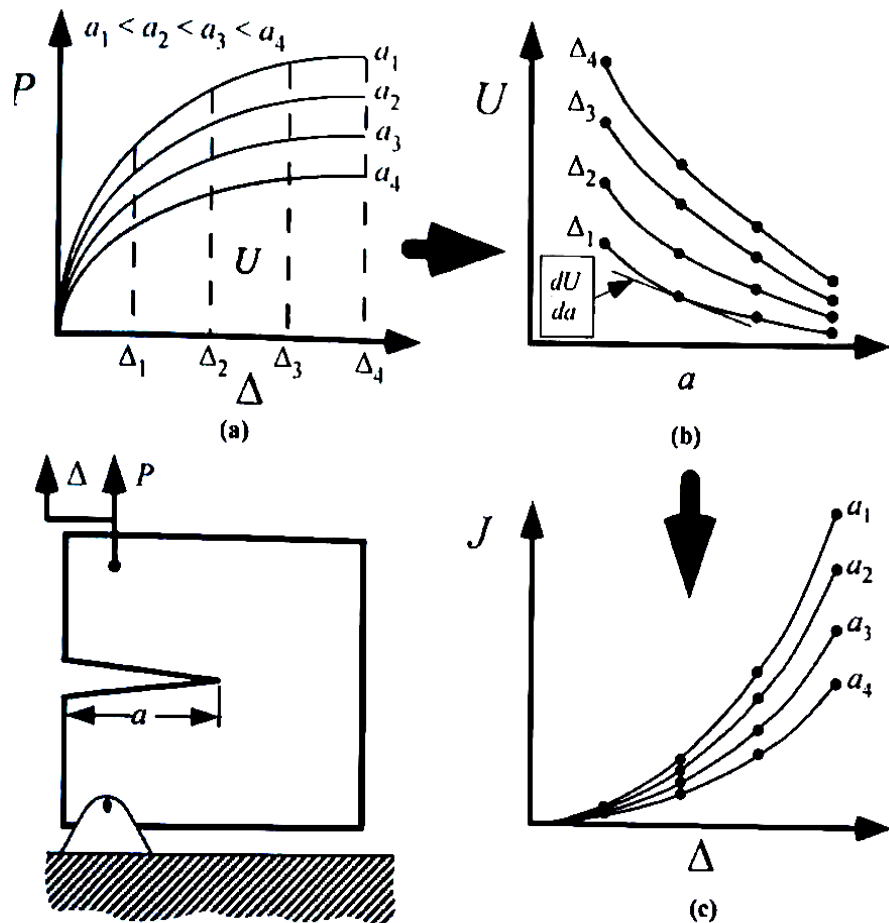
原理：形变功率差法

计算：

$$J = -\frac{1}{B} \left(\frac{\partial U}{\partial a} \right)_{\Delta}$$

步骤：

- 取多个相同形状、尺寸、但裂纹尺寸不同的试样，测定 P - Δ 曲线；
- 计算 U ，绘制 U - a 曲线；
- 求 dU/da ，然后计算 J ；
- 绘制 J - Δ 曲线，进行校正。



Schematic of early experimental measurements of J ,



(2) 单试样法- 双边裂纹拉伸

在特定条件下，可采用单试样的载荷-位移曲线来确定 J 积分。

对单位厚度双边裂纹板材拉伸试样， J 积分为：

$$J = \frac{1}{2} \int_0^P \left(\frac{\partial \Delta}{\partial a} \right)_P dP = - \frac{1}{2} \int_0^P \left(\frac{\partial \Delta}{\partial b} \right)_P dP \quad (1)$$

假设材料服从幂律硬化，由量纲分析得到：

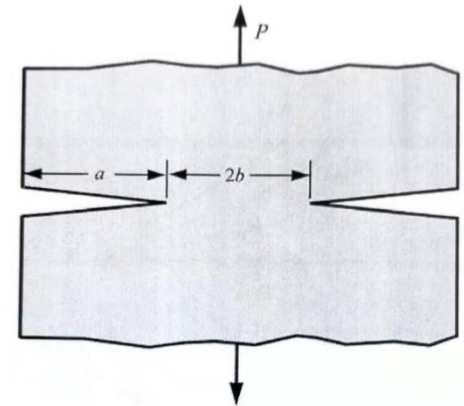
$$\Delta = b \Phi \left(\frac{P}{\sigma_0 b} ; \frac{a}{b} ; \frac{\sigma_0}{E} ; \nu ; \alpha ; n \right) \quad (2)$$

令： $\Delta = \Delta_e + \Delta_p$ ，代入 (1) 式，得：

$$J = - \frac{1}{2} \int_0^P \left[\left(\frac{\partial \Delta_e}{\partial b} \right)_P + \left(\frac{\partial \Delta_p}{\partial b} \right)_P \right] dP = \frac{K_I^2}{E'} - \frac{1}{2} \int_0^P \left(\frac{\partial \Delta_p}{\partial b} \right)_P dP \quad (3)$$

对于深裂纹的情况，可以得到：

$$J = \frac{K_I^2}{E'} - \frac{1}{2b} \left[2 \int_0^{\Delta_p} P d\Delta_p - P \Delta_p \right] \quad (4)$$



(2) 单试样法- 单边裂纹三点弯曲 – Rice方法



分析中采用倾转角来代替位移

无裂纹试样倾转角 有裂纹试样倾转角附加量

$$\Omega = \Omega_{nc} + \Omega_c \quad (1)$$

对深裂纹试样: $\Omega_c \gg \Omega_{nc}$

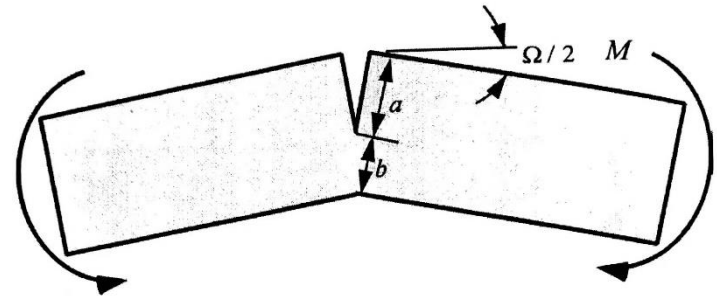
试样吸收能量: $U = \int_0^\Omega M d\Omega \quad (2)$

根据 Ω_{nc} 的定义, 其值与裂纹尺度无关, 因此:

$$J = \int_0^M \left(\frac{\partial \Omega_c}{\partial a} \right)_M dM = - \int_0^M \left(\frac{\partial \Omega_c}{\partial b} \right)_M dM \quad (3)$$

由量纲分析, 有:

$$\Omega_c = F\left(\frac{M}{b^2}\right) \quad (4)$$



Edge-cracked plate in pure bending.

(2) 单试样法-单边裂纹三点弯曲 - Rice方法 (续)



对深裂纹试样，可假设只有 b 与尺度相关，则有 (3) 式可得：

$$J = \frac{2}{b} \int_0^{\Omega_c} M d\Omega_c \quad (5)$$

将角位移 Ω_c 的分解成弹性位移和塑性位移两部分，则上式改写为：

$$J = \frac{2}{b} \left[\int_0^{\Omega_{c(e)}} M d\Omega_{c(e)} + \int_0^{\Omega_{c(p)}} M d\Omega_{c(p)} \right] \quad (6)$$

或：

$$J = \frac{K_I^2}{E'} \frac{2}{b} \int_0^{\Omega_p} M d\Omega_p \quad (7)$$

一般来说，对多种几何形状的试样， J 积分都可以写为如下能量形式：

$$J = \frac{\eta U_c}{Bb} \quad (8)$$

$$J = \frac{\eta_e U_{c(e)}}{Bb} + \frac{\eta_p U_{c(p)}}{Bb} = \frac{K_I^2}{E'} + \frac{\eta_p U_{c(p)}}{Bb} \quad (9)$$

(2) 单试样法 - 单边裂纹三点弯曲 - 陈麓方法



陈麓研究了深裂纹、短跨距的三点弯曲试样，通过弹塑性理论分析发现，在加载到给定位移（ Δ ）或者载荷（ P ）时， J 积分与试样加载过程中所接受的变形功（ U ）、裂纹尺寸（ a ）、韧带尺寸（ $W-a$ ）三者之间存在下列关系：

$$J = \frac{2U}{B(W-a)}$$

式中， B - 试样厚度； a - 裂纹长度； W - 试样宽度； U - 变形功。

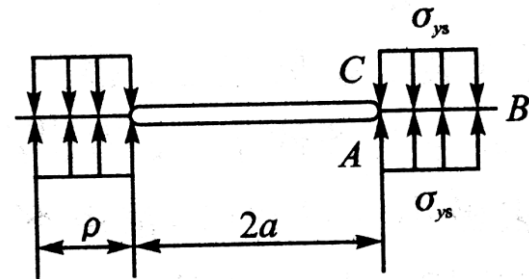
$$U = \int_0^{\Delta} P d\Delta$$

2.2.2.4 J 与 CTOD 的关系



在裂纹尖端塑性区取回路 ABC ， J 积分为：

$$J = \int_{ABC} \left(w dy - \frac{\partial u_i}{\partial x} T_i dS \right) \quad (1)$$



沿 AB 、 BC 段， $dy=0$ ， $dS=0$ ， $T_i = -\sigma_{ys}$ ，所以：

围绕Dugdale塑性区的 J 积分

$$J = - \int_{ABC} (-\sigma_{ys}) \frac{\partial u_y}{\partial x} dx = 2 \int_B^C \sigma_{ys} \frac{\partial u_y}{\partial x} dx = 2\sigma_{ys} [(u_y)_C - (u_y)_B] \quad (2)$$

但 $(u_y)_B = 0$ ，则 (2) 式变为： $J = 2\sigma_{ys} (u_y)_C = \sigma_{ys} \delta \quad (3)$

将Dugdale模型的CTOD值代入 (3) 式，可得：

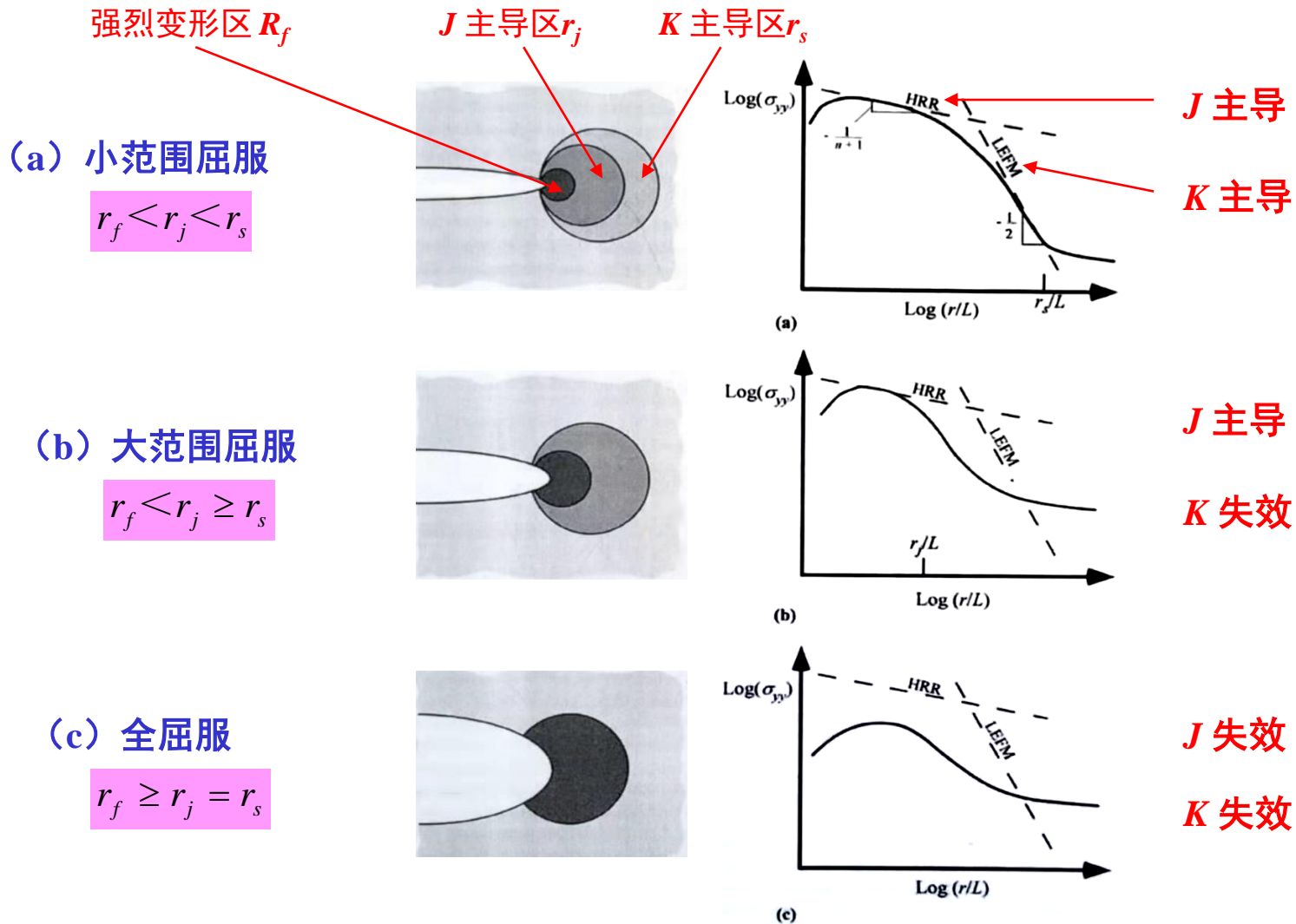
$$J = \sigma_{ys} \delta = \frac{8\sigma_{ys}^2 a}{\pi E} \ln \sec \left(\frac{\pi \sigma}{2\sigma_{ys}} \right) \quad (4)$$

实验及FEM分析表明：

$$J = k \sigma_{ys} \delta$$

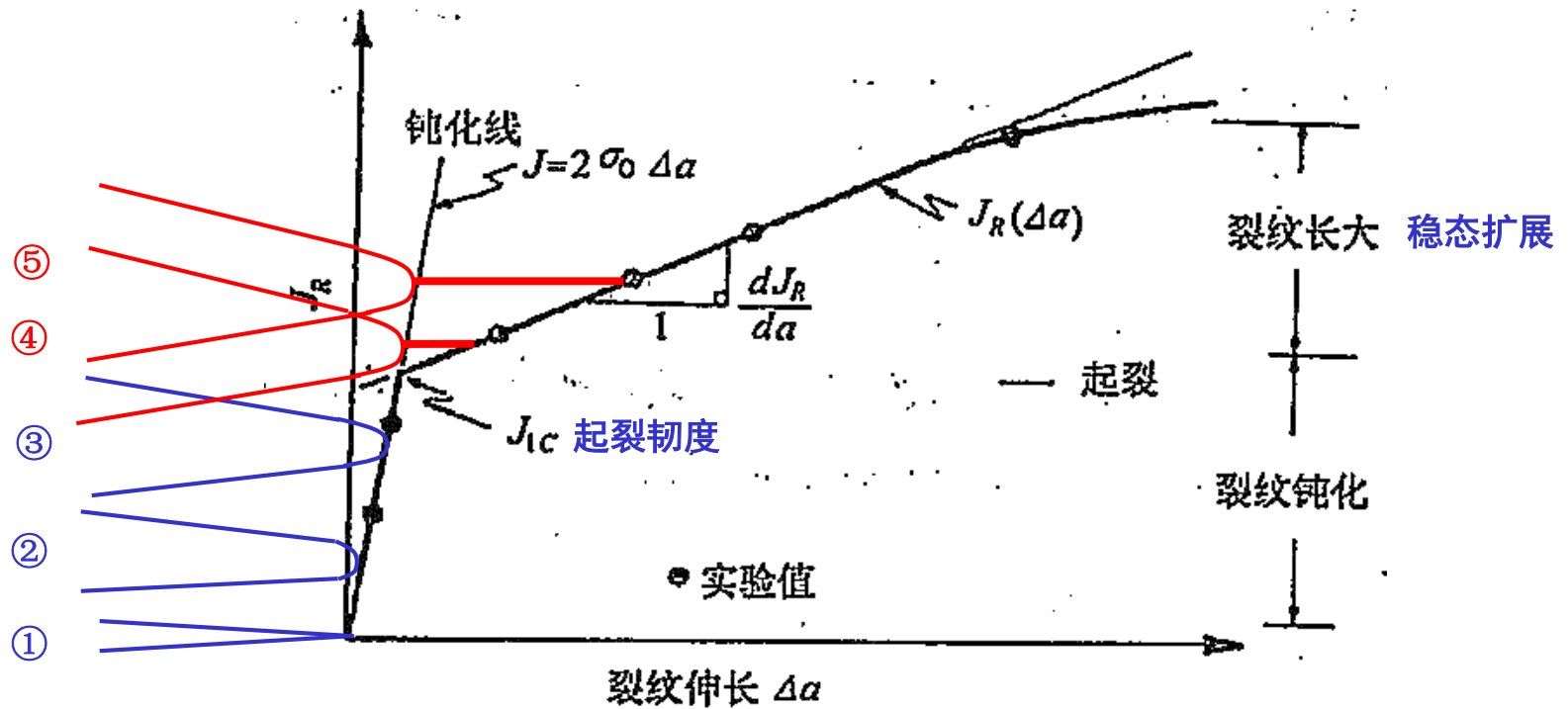
$k=1.1 \sim 2.0$ 之间，与试样几何、约束条件、材料硬化特性有关

2.2.2.5 J 控制断裂 – J 主导区



塑性对裂尖应力场的影响

2.2.2.5 J 控制断裂 – J 阻力曲线



撕裂模量:

$$T_R = \frac{E}{\sigma_0^2} \frac{dJ_R}{da}$$

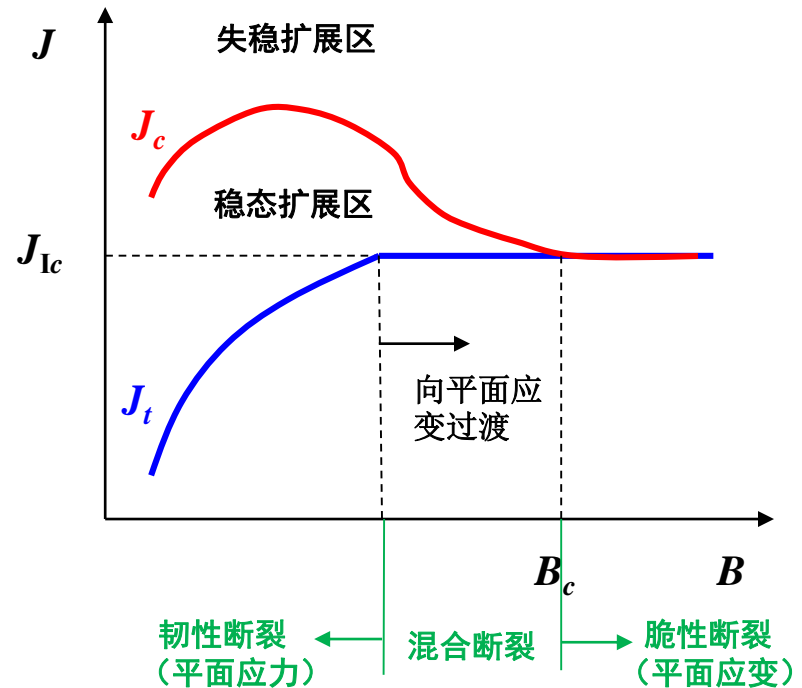
2.2.2.6 J 积分准则



$$J_I = J_{IC}$$

弹塑性裂纹扩展过程可分为稳态扩展和失稳扩展两部分。利用 J 积分可求出稳态扩展开始值 J_t （门槛值）以及失稳扩展临界值 J_c 。

- 若取开裂点确定 J 积分，为开裂判据
- 若取失稳点确定 J 积分，为断裂判据
- J_t 和 J_c 随厚度的变化有不同的变化趋势



J 积分优缺点



优点:

- 与CTOD相比较，理论根据严格，定义明确
- 用FEM能够计算不同受力情况与各种形状结构的 J 积分，而CTOD准则的计算公式仅限于简单的几何形状和受力情况
- 实验测定方便

缺点:

- 限于二维情况，对表面裂纹尚待研究
- J 积分准则一般用于裂纹开裂点，不适用于失稳扩展，故用于确定结构承载能力时，则过于保守

断裂力学方法及参量

